甘肃早子沟金矿床地球化学联合广域电磁法的深部找矿预测

朱 锐^{1,2}, 栾晓刚^{2*}, 聂 鑫³, 吴通林², 何永成², 于皓丞¹ (1. 中国地质大学(北京)地球科学与资源学院; 2. 甘肃省合作早子沟金矿有限责任公司; 3. 招金矿业股份有限公司)

摘要:早子沟金矿床是西秦岭造山带最大的金矿床之一。然而,随着开采深度增加,勘探难度越来越大。尽管深部资源潜力巨大,但对深部矿体的展布认识不清。通过开展地球化学联合广域电磁法工作,在早子沟金矿床开展深部成矿预测研究并圈定靶区。代表性勘探线剖面上岩石样品的微量元素特征显示,As与Au相关性最好,Sb与Au相关性次之,表明毒砂和辉锑矿是与金关系最密切的矿物,且它们在一定程度上呈互补关系,即辉锑矿发育处,毒砂较为不发育,反之亦然。毒砂可能是金的主要载体,而辉锑矿的形成对于金的富集起到了增强作用。通过综合分析成矿元素分布图及广域电磁解释剖面,明确了电阻率的突变位置与矿体分布具有很好的耦合性。在电阻率突变线附近,尤其是2组突变交会处,发育矿体的可能性最大。在此基础上,在GY3剖面上划分了3个级别共5个有利勘探区,Ⅰ级有利勘探区为浅部的主要含矿构造与横向显著电阻率突变带交会处,Ⅲ级有利勘探区为传为显著电阻率突变带交会处,Ⅲ级有利勘探区为已发现M4、M6等官矿体以深相似构造位置即横向一般电阻率突变带。有利勘探区可向两侧其他剖面延伸,为其他剖面有利勘探区划分提供参考。

关键词:早子沟金矿床;广域电磁法;地球化学;电阻率;深部找矿;圈定靶区;西秦岭中图分类号:TD11 P618.51文章编号:1001-1277(2025)09-0028-09

文献标志码:A doi:10.11792/hj20250903

引言

早子沟金矿床位于西秦岭造山带,是该造山带最 大的金矿床之一[1-3]。自1996年发现以来,探明储量 超过100 t。前人研究认为,早子沟金矿床深部资源 潜力较大[4-6],然而随着开采深度增加,勘探难度越来 越大。受限于钻孔分布及样品数量,单纯采用地球化 学方法找矿已难以满足深部勘探需要。而在浅部密 布巷道的影响下,采用普通地球物理勘探方法找矿效 果不佳。因此,强化深部找矿工作已成为目前勘探工 作的重点。基于构造、岩浆与热液演化分析,众多学 者对早子沟金矿床的成矿规律和勘探潜力进行了分 析和预测[4-8]。前人研究表明,早子沟金矿床是典型 造山型金锑矿床[1,3,9-10],金锑成矿作用与华南一华北 板块碰撞造山作用有关[9,11-12],成矿物质来源于受区 域变质作用影响的地层[2,13-19]。陈国忠等[8]分析了矿 区构造特征,认为断裂面形态影响了矿体形态和分 布,断裂面的凸峰及凹谷区是矿体赋存的主要位置。 金鼎国等[20]总结了早子沟金矿床矿体的空间分布特 征,强调矿区断裂、岩脉等对矿体的控制作用。张愿 宁等[21]综合分析了早子沟金矿床的成因,明确了其为 受构造控制明显的热液蚀变岩型和石英脉型金矿床。 李康宁等[22]对夏河一合作地区与中酸性侵入岩有关 的金铜多金属成矿系统进行了分析,认为岩浆作用和 断裂联合控制矿体发育。野外观察表明,断裂破碎 带、中酸性岩脉、硅化蚀变及Au、As、Hg、Sb元素的化 探异常是重要找矿标志[23]。矿体分布主要受控于北 东东向、北西向断裂,断裂产状变化处、多组断裂交会 处、断裂局部伸展处往往是利于形成高品位金矿化的 位置[7]。矿体三维建模显示,矿区深部有较大的找矿 潜力[5,6,24],与原生晕预测结果一致[8]。上述认识和评 价为圈定深部靶区提供了依据[25]。广域电磁法是近 十几年逐步发展起来的一种频率域电磁探测法,具有 探测深度大、抗干扰能力强、分辨率高等优势[26],已在 深部勘探工作中得到了广泛应用[27-29],如胶东大柳行 金矿床[30]和贵州烂泥沟金矿床[31]。针对目前早子沟

收稿日期:2025-03-25; 修回日期:2025-05-02

基金项目:国家重点研发计划项目(2023YFE0125000);甘肃省合作早子沟金矿有限责任公司与中国地质大学(北京)产学研合作项目(ZJ-ZZGIK2025)

作者简介:朱 锐(1989—),男,工程师,从事矿山地质勘查工作;E-mail:zhuruigold@qq.com

^{*}通信作者:栾晓刚(1983—),男,高级工程师,从事矿山管理和地质勘查工作;E-mail:Luanxiaogang8307@163.com

金矿床的勘探需要及所面临的勘探问题,综合地球物理与地球化学手段的勘探工作势在必行。因此,本文在分析矿体地球化学元素分布特征的基础上,结合广域电磁法联合勘探,对早子沟金矿床深部构造和含矿性进行预测,以期为深部钻探、找矿提供参考。

1 地质概况

早子沟金矿床位于西秦岭成矿带夏河一合作矿集区^[3,32],已探明金资源量118t,平均金品位3.42g/t。区域北西西向褶皱、断裂发育,构造复杂,印支期中酸性侵入岩十分发育,成矿条件优越。矿区主要出露中三叠统古浪堤组下段第三层(见图1),岩性主要为青灰色含钙泥质板岩、粉砂质板岩、泥质板岩夹砂岩、粉砂岩及薄层状、透镜状灰岩、不纯灰岩。矿区西部地

层为近南北走向,东部地层为北东走向,整体为北西向单斜构造。矿区内断裂非常发育,根据走向大致可分为近东西向、近南北向、北东向、北西向、北北东向5组,矿体严格受控于断裂,侵入岩也基本沿断裂发育[23,25-28,30-31,33-34]。北东向断裂是最主要的控矿构造,走向55°,倾向多为南东向(如Au1矿体),少数为北西向(如Au9矿体),倾角陡,超过80°。矿区含矿段分布于1号沟到4号沟,北东向、北西西向、北西向和近南北向断裂控制了4条矿带的空间分布。截至目前,矿区共圈定矿体523个。其中,以单个矿体稳定延伸大于500m且有深部工程控制作为主矿体划分标准,共确定3个主矿体,分别为北东向Au1、Au9矿体及北西西向盲矿体M6。

矿石类型包括蚀变岩型和石英脉型2类(见

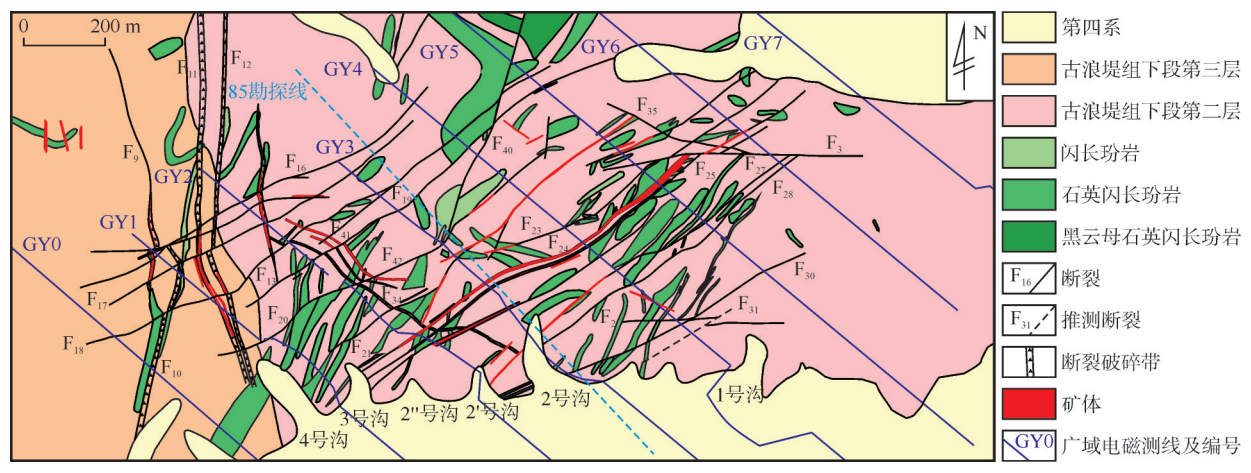


图1 早子沟金矿区地质图(据文献[4]修改)

Fig. 1 Geological map of the Zaozigou Gold District

图 2-a、b)。蚀变岩型矿石根据其原岩又可划分为蚀变板岩型矿石和蚀变闪长玢岩型矿石,而石英脉型矿石主要为石英辉锑矿型矿石(见图 2-c)。蚀变岩型矿石产出于近南北向和北东向的陡倾斜矿体中,石英脉型矿石主要产出于北西向的缓倾斜矿体中,少量产出于部分北东向陡倾斜矿体中。矿石矿物主要为自然金、辉锑矿、含金黄铁矿和毒砂。其中,辉锑矿和毒砂是主要的载金矿物。辉锑矿主要发育在石英脉型矿石中,多呈他形不规则状填充于石英脉中(见图 2-d)。毒砂结晶较好,呈棱形、长柱形、矛头状,往往与黄铁矿伴生(见图 2-e),多呈浸染状分布于蚀变岩型与石英脉型矿石中。

2 样品采集与测试方法

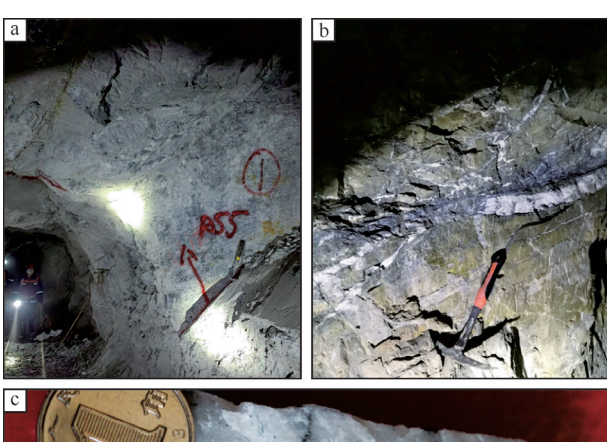
前人已经通过原生晕分析肯定了矿区深部的找矿潜力,并分析了找矿标志^[6,8,23,25]。在总结前人研究成果基础上,本研究以主竖井10中段为研究剖面(见图1中85勘探线,2760m标高),开展一维地球化学填图工作,结合广域电磁资料,分析地球物理找矿标

志,进一步探究深部矿体展布特征,以期在不同勘探线上,进行精准找矿预测,探明高潜力成矿区。本文采集主巷道(2760m标高)样品108件,跨越长度约430m,自北西向南东横切了Au9、Au113、Au46和Au1等矿体。

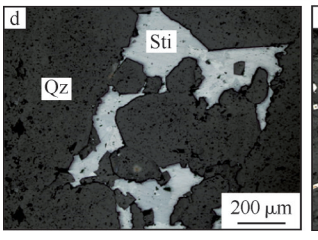
为了更好地解释成矿元素分布特征,本文对采集样品分析了Au、As、Sb、Ag、Cu、Pb、Zn、Co、Ni、Cr、Mo、V、Rb、Sr、Ba、Mn、Ti、Bi和Hg共19种微量元素。本次针对不同元素采用的测试仪器包括原子吸收分光光度计(GGX-900,Ag、Cu、Pb、Zn、Co、Ni、Mo、V、Rb、Sr、Ba、Mn、Ti)、原子荧光光度计(XGY1011A,As、Sb、Cr、Bi);对少数辉锑矿矿石,采用化学法测量,对于Au、Hg等痕量元素、低于检出限的元素,利用电感耦合等离子质谱仪(X series 2/SN01831C)进行分析。

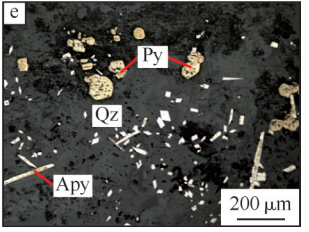
为了厘清矿区深部含矿构造的延伸和展布情况,设计和完成了8条广域电磁剖面,测线编号GY0~GY7(见图1),为尽可能避免边界效应影响,对测线两端均进行了适度延长。为保证剖面完整性,野外工作时对部分因采矿区和沙棘林影响而无法布线的测点

30 特 约 专 题 苗 全









a-蚀变岩型矿石 b-石英脉型矿石 c-石英辉锑矿型矿石 d---石英脉中辉锑矿呈填隙结构 e---石英脉中黄铁矿与毒砂伴生 Qz—石英 Sti—辉锑矿 Py—黄铁矿 Apy—青砂

图 2 早子沟金矿床矿石特征

Fig. 2 Ore characteristics of the Zaozigou Gold Deposit

进行了适当偏移。采集仪器为湖南继善高科技有限 公司与中南大学联合研制的广域电磁仪器系统[26],采 用的装置形式为广域电磁法的E-Ex装置。为保证本 次工作的可靠性,先进行室内标定。本次工作共配备 2 台接收机(编号为 GY2712J 和 GY2713J), 野外工作 时采用1发2收的工作模式(1台发射系统,2台接收 机同步接收)。

成矿元素展布特征及相关性分析

3.1 微量元素相关性分析

早子沟金矿床矿石微量元素分析结果见表1。 由表1可知:As和Sb是矿石中含量相对较高的元素。 为了更好地明确成矿标志元素,对所测试的元素与 Au的相关性进行了分析,结果见图3。由图3可知: As 与 Au 相关性最好, Sb 与 Au 相关性次之, 3 件高 Sb含量矿石样品偏离趋势线,剔除后相关性更好,指 示部分辉锑矿可能并未与 Au 共生。 As 和 Sb 质量分 数之和与Au表现出密切的相关性,表明As、Sb与Au 伴生关系紧密。As、Sb和Au的强相关性与矿石矿物 的共生关系相对应,即毒砂和辉锑矿是最主要的赋金 矿物,且毒砂和辉锑矿在一定程度上呈互补关系,辉 锑矿发育良好时,毒砂发育一般或较差;而毒砂发育 良好时,辉锑矿则发育一般或较差。然而,个别样 品(如z95样品)同时表现出辉锑矿、毒砂均发育良好 的特征。除Sb和As外,Ag和Hg与Au表现出一定的 相关性,但相关性较差,且样品中Ag、Hg含量普遍较 低,对Au的指示作用有限。其他元素如Cu、Pb、Zn、 Cr、Bi与Au相关性非常差,可能代表了背景含量,与 金成矿无关。此外,矿石间复杂的穿插关系,以及石 英脉型矿石内辉锑矿含量变化较大,导致Sb、As、Au 含量难以准确识别。由此,矿石类型可进一步分为石 英脉型、石英辉锑矿型、蚀变岩型和蚀变岩夹石英脉 型。不同类型矿石Au、As、Sb元素特征见表2,Au-As-Sb关系见图4。由表2、图4可知:As与Au的相关 性很好,表明毒砂可能是Au的主要载体。而高Sb样 品中Au含量波动较大且受限于As含量,表明辉锑矿 的形成可能增强了金的富集作用。

表1 早子沟金矿床矿石微量元素分析结果

Table	1	Trace	eleme	nt ana	lysis re	sults	of ores	from	the Z	Laozigo	ou Gol	а Беро	osit			×I	U ·
	21			- DI							D.	-		35.2)	m.2)		

													0							
样品 编号	距起点距离/m	Au ¹⁾	As	Sb	Ag	Cu	Pb	Zn	Co	Ni	Cr	Мо	V	Rb	Sr	Ba	Mn ²⁾	Ti ³⁾	Bi	Hg ⁴⁾
z3	0.0	50.0	104.0	69.0	0.19	66.0	36.1	97.0	17.2	36.4	63.2	1.1	91.9	199	535	359	0.08	0.52	1.34	12
z4	0.5	50.0	146.0	36.5	0.06	2.0	14.5	42.2	9.2	22.9	75.2	1.2	45.4	59	1 781	109	0.12	0.16	0.58	42
z5	1.0	60.0	73.5	35.0	0.22	20.3	18.7	78.9	15.5	35.2	54.3	1.2	64.9	129	1 212	336	0.09	0.31	0.41	19
z6	1.5	35.0	32.3	20.0	0.16	61.0	8.5	29.9	9.1	13.3	74.7	1.0	74.1	95	1 241	94	0.08	0.60	0.91	26
z1	2.0	340.0	238.0	73.5	0.46	30.3	25.2	29.9	24.3	34.0	41.9	1.1	60.5	37	591	56	0.05	0.28	3.68	190
z2	3.0	190.0	193.0	56.5	0.15	26.3	21.6	29.7	18.4	25.4	52.1	1.0	76.1	59	920	63	0.07	0.46	1.57	143
z7	3.5	11.6	106.0	65.0	0.05	50.7	13.2	57.9	10.5	37.5	29.0	0.8	42.9	51	2 058	113	0.05	0.20	0.95	31
z8	4.5	2.3	23.2	3.5	0.02	12.2	13.0	91.5	17.0	33.5	52.1	1.1	61.7	49	1 065	265	0.11	0.41	0.38	31
z10	4.0	80.0	6 300.0	37.5	0.14	53.0	19.5	91.0	18.0	36.0	53.3	5.4	77.8	189	1 265	864	0.06	0.47	0.96	114
z11	5.5	4.1	251.0	2.5	0.08	8.9	51.4	45.8	9.6	28.8	31.9	1.0	49.1	74	1 929	330	0.09	0.22	0.51	168
z12	8.5	150.0	181.0	9.5	0.07	1.0	63.1	31.5	6.4	24.8	20.0	1.1	34.1	28	2 300	1425	0.15	0.13	0.63	24
z13	15.5	7.9	45.2	33.0	0.07	16.7	12.5	74.5	13.4	31.3	67.2	2.1	104.0	287	106	617	0.02	0.46	0.52	50

表1 (续) Table 1 (contiued)

1× 11																			
样品 编号	距起点距离/m	$Au^{1)}$	As	Sb	Ag	Cu	Pb	Zn	Co	Ni	Cr	Mo	V	Rb	Sr	Ba Mn	2) Ti ³⁾	Bi	$\mathrm{Hg}^{4)}$
z16	24.5	310.0	263.0	10.4	0.01	19.8	25.8	89.4	17.8	34.2	58.9	1.0	66.9	198	616	495 0.0	8 0.41	0.40	36
z18	31.5	3 100.0	16 600.0	62.5	1.14	30.6	9.5	91.0	17.1	31.9	57.2	1.0	66.4	221	407	290 0.0	8 0.37	0.31	161
z21	41.5	50.0	718.0	7.1	0.53	92.8	137.0	86.1	40.3	43.7	70.3	5.1	88.3	166	594	603 0.0	4 0.53	2.28	307
z23	49.5	3.3	266.0	2.1	0.05	10.4	23.7	97.3	18.5	35.6	62.6	1.1	86.3	158	611	1 563 0.1	6 0.50	0.26	144
z25	58.5	7.5	1 864.0	53.5	0.11	3.3	5.1	7.8	3.4	20.7	2.3	1.0	25.7	12	1 157	32 0.0	7 0.04	0.16	401
z26	63.5	5.4	632.0	49.0	0.04	42.0	17.7	90.7	17.9	37.0	64.1	2.5	75.0	213	781	1 336 0.0	7 0.48	0.47	83
z30	78.5	1.6	35.5	4.4	0.05	44.1	23.7	105.0	20.5	40.4	66.6	1.2	82.0	214	630	564 0.1	0.53	0.30	105
z34	98.5	2.7	59.9	61.0	0.06	73.3	20.6	96.8	20.0	36.5	52.0	1.1	71.7	65	283	109 0.0	8 0.47	0.30	91
z36	108.5	1.6	36.0	4.2	0.01	19.8	30.1	95.7	19.3	37.9	77.6	1.8	87.8	144	899	1 689 0.0	7 0.53	0.29	26
z39	118.5	6.6	85.0	61.5	0.07	83.9	29.6	117.0	20.3	37.1	43.3	2.0	81.6	22	156	62 0.0	6 0.57	0.56	30
z41	123.5	440.0	2 362.0	44.5	0.01	8.3	22.9	92.5	14.5	29.3	52.0	1.8	72.2	191	358	426 0.1	0.39	0.34	55
z43	126.0	11.5	144.0	27.5	0.02	15.3	18.5	80.2	14.3	28.2	53.1	1.8	69.0	193	675	441 0.1	8 0.33	0.94	32
z44	129.5	1 060.0	4 916.0	47.5	0.10	9.3	7.8	15.4	9.3	27.3	27.5	2.2	49.5	102	1 088	181 0.1	0.20	0.33	41
z46	129.6	4 070.0	4 612.0	152.0	0.06	5.2	5.7	9.4	2.0	8.4	7.2	1.8	28.0	23	189	48 0.0	3 0.04	0.24	45
z47	130.5	170.0	181.0	49 500.0	0.29	7.8	1.6	127.0	0.4	2.8	4.2	1.3	30.9	3	82	70 0.0	1 0.01	0.14	1 103
z48	130.6	4 450.0	7 340	140.0	0.13	13.2	14.2	36.5	7.3	20.3	22.7	1.9	53.5	101	447	181 0.0	4 0.15	0.56	1 101
z49	131.0	610.0	2 247.0	18.5	0.02	5.4	23.2	88.2	16.8	36.8	39.8	1.5	75.9	219	355	1 204 0.0	6 0.42	0.61	955
z50	131.5	9.6	158.0	35.3	0.01	19.0	26.0	88.3	17.4	37.9	52.7	10.1	70.6	191	271	566 0.0	7 0.43	0.52	643
z52	133.5	70.0	237.0	21.8	0.80	659.0	25.2	84.8	19.3	37.2	55.9	2.5	74.1	136	395	354 0.1	2 0.36	3.47	491
z55	142.5	5.0	41.5	10.0	0.03	10.7	21.6	82.9	15.1	33.3	52.7	2.6	75.5	155	255	417 0.0	6 0.42	0.48	195
z58	155.5	7.5	36.7	20.5	0.02	70.7	33.4	112.0	19.9	44.2	83.2	1.3	94.8	192	391	509 0.0	8 0.56	0.38	203
z60	165.5	60.0	109.0	66.0	0.01	44.6	29.3	103.0	17.6	32.1	77.7	1.9	89.5	272	185	230 0.0	5 0.53	0.61	218
z61	170.5	10.5	62.5	34.0	0.05	12.6	13.5	44.5	15.5	29.1	46.1	1.1	58.9	160	292	565 0.0	2 0.43	0.39	198
z63	175.5	1 790.0	2 262.0	31.0	0.14	3.3	17.8	59.2	11.2	17.6	19.7	1.6	60.3	177	288	716 0.0	5 0.20	8.11	221
z66	187.0	90.0	757.0	40.5	15.80	6 870.0	19.8	326.0	19.2	26.5	43.2	1.9	56.2	127	886	276 0.0	8 0.28	50.70	400
z68	190.0	70.0	251.0	137.0	0.04	5.8	27.6	86.5	17.5	37.4	68.9	3.1	95.9	107	221	311 0.0	7 0.47	0.31	529
z69	191.5	25.0	173.0	92.5	0.13	151.0	10.7	38.0	9.5	12.4	17.9	1.4	51.3	124	404	105 0.0	3 0.38	0.53	223
z70	192.0	10 100.0	1 835.0	78 600.0	2.10	16.2	30.0	18.1	2.2	9.3	11.2	1.2	35.4	13	392	157 0.0	4 0.05	3.31	819
z71	192.5	2 840.0	4 150.0	142.0	0.10	24.0	6.5	30.8	5.5	12.7	17.6	1.5	34.5	41	432	70 0.0	5 0.06	1.02	955
z72	193.5	16.7	60.2	118.0	0.04	24.9	9.6	20.4	6.3	10.3	29.9	1.6	46.4	135	475	194 0.0	4 0.33	0.42	730
z74	196.5	8.3	54.3	45.5	0.02	5.3	15.5	59.3	13.0	15.6	36.0	1.1	56.8	151	497	784 0.0	6 0.44	0.15	536
z75	201.5	50.0	231.0	64.0	0.04	1.0	26.2	64.6	13.9	14.2	27.2	1.2	52.5	134	511	643 0.0	5 0.38	0.18	397
z77	213.5	2.3	34.4	25.0	0.04	20.9	27.8	60.2	14.4	23.3	42.7	5.8	62.3	166	451	735 0.0	6 0.42	0.74	339
z78	219.5	21.5	242.0	78.0	0.03	25.9	14.2	81.5	12.5	50.3	82.7	2.2	45.5	61	775	59 0.0	3 0.27	4.00	284
z80	231.5	3.9	54.6	83.5	0.02	1.7	27.5	65.8	9.6	13.4	29.7	1.1	64.0	150	282	626 0.0	2 0.46	0.13	407
z82	241.5	5.6	41.2	46.8	0.03	16.2	22.4	65.7	8.1	10.7	19.8	1.1	37.7	128	410	714 0.0	3 0.42	0.38	273
z86	261.5	6.6	63.8	4.9	0.08	44.9	16.8	59.0	10.8	13.2	36.8	1.5	50.0	138	475	727 0.0	6 0.40	2.78	192
z89	276.5	21.9	787.0	3.5	0.09	9.4	21.9	71.2	11.7	14.6	30.9	1.1	51.6	159	458	665 0.0	6 0.38	0.65	154
z94	323.5	13.5	37.2	22.0	0.18	7.2	23.3	51.4	9.1	13.0	29.6	2.9	43.2	142	447	645 0.0	4 0.37	5.50	186
z95	328.5	7 400.0	6 140.0	103 400.0	1.52	6.2	16.7	208.0	1.6	4.9	9.8	1.0	30.0	37	67	179 0.0	1 0.05	0.65	730
z96	332.5	12 300.0	14 900.0	172.0	13.80	160.0	15.7	78.3	12.1	20.6	35.4	2.8	51.2	135	509	173 0.1	2 0.19	4.88	639
z97	335.5	8 150.0	24 700.0	152.0	1.73	40.3	5.0	88.3	15.5	29.3	69.3	1.5	74.4	262	411	308 0.0	9 0.38	0.54	384
z98	338.5	200.0	2 069.0	114.0	16.80	106.0	50.2	105.0	18.0	32.1	50.8	2.0	66.1	51	447	177 0.0	9 0.35	13.40	318
z100	346.5	17.3	131.0	40.0	0.04	18.3	16.1	85.9	18.4	35.2	64.7	1.1	75.4	177	859	774 0.0	9 0.45	0.51	273
z102	358.5	90.0	1 647.0	19.0	4.18	26.8	15.2	93.3	15.0	64.2	117.0	1.5	53.4	139	537	535 0.0	6 0.31	0.47	242
z105	382.5	8.6	58.2	27.3	0.03	14.9	19.1	71.4	7.1	5.3	9.0	1.1	40.0	93	236	107 0.0	3 0.36	0.34	319

注:1)w(Au)/×10⁻⁹;2)w(Mn)/%;3)w(Ti)/%;4)w(Hg)/×10⁻⁹。

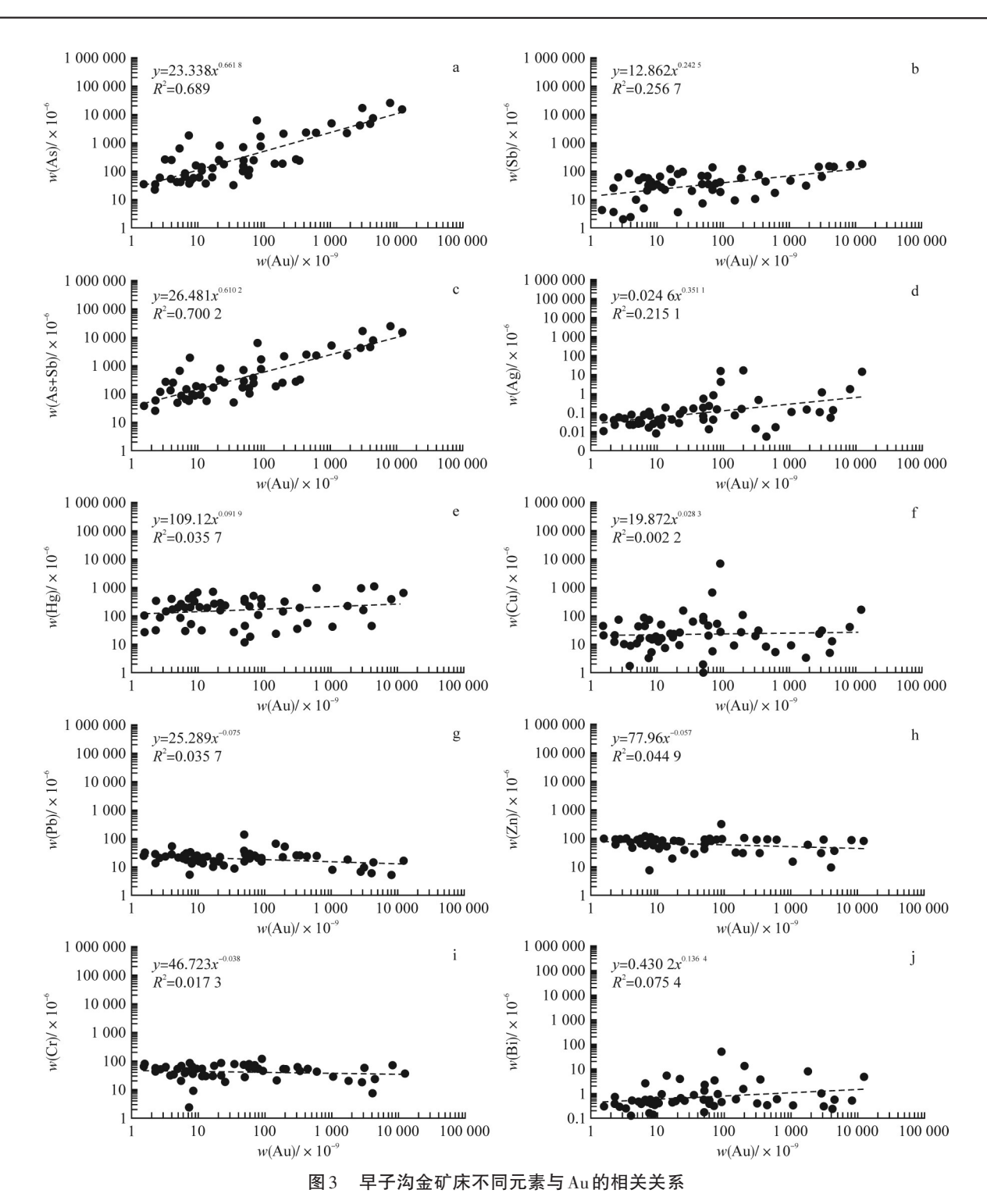


Fig. 3 Correlation diagrams between different elements and Au in the Zaozigou Gold Deposit

3.2 成矿元素的一维分布

早子沟金矿床的指示元素为 As 和 Sb,为了更好地分析 As 和 Sb 对矿体的指示作用,展示其在矿体及围岩中的含量变化,将 Au、As 和 Sb 3 种元素的含量按采样位置沿 10 中段(2 760 m 标高)主巷道(85 勘探线)投影,结果见图 5。由图 5 可知:矿体发育处 Au质量分数高。矿体均发育石英辉锑矿脉或辉锑矿化、毒砂化,表现为 Sb 和 As 含量均较高。需要指出的是,除了矿体外,还可见 5 个 Sb 或 As 异常的矿化带。其中,

1和3号点位表现出明显的 Au和 As异常,而2,4和5号点位表现出明显的 As异常,可能发生了毒砂化,但并未发生明显金矿化,也可能是矿体的外延,值得进一步研究,明确其含矿性。

4 广域电磁法对深部勘探的启示

广域电磁法的基本原理是利用地面上的变化电磁场激发地下介质电流,测量地下电流产生的磁场信号,从而推断地下介质的电性结构和成分。相对于传

表2 早子沟金矿床不同矿石类型 Au、As、Sb元素特征

Table 2 Characteristics of Au, As, and Sb in different ore types from the Zaozigou Gold Deposit ×10⁻⁶

type.	s from the Zaozige	u ooia bep	osit	~10		
样品编号	矿石类型	Au ¹⁾	As	Sb		
z1		340	238	74		
z2		190	193	57		
z25		8	1 864	54		
z46	万基形 期	4 070	4 612	152		
z48	石英脉型	4 450	7 340	140		
z63		1 790	2 262	31		
z71		2 840	4 150	142		
z98		200	2 069	114		
z0		42 100	666	188 400		
z47	石英辉锑矿型	170	181	49 500		
z70	石	10 100	1 835	78 600		
z95		7 400	6 140	103 400		
z102		90	1 647	19.0		
z10		80	6 300	37.5		
z12		150	181	9.45		
z16		310	263	10.4		
z18	蚀变岩型	3 100	16 600	62.5		
z21	压又 有至	50	718	7.10		
z41		440	2 362	44.5		
z44		1 060	4 916	47.5		
z49		610	2 247	18.5		
z111		870	6 650	58.0		
z96		12 300	14 900	172		
z97	加亦思步天堂	8 150	24 700	152		
z115	蚀变岩夹石英 脉型	1 200	1 717	86 400		
z116	<i>37</i> , <u></u>	2 290	15 900	93.5		
z117		1 240	82.0			

注:1)w(Au)/×10-9。

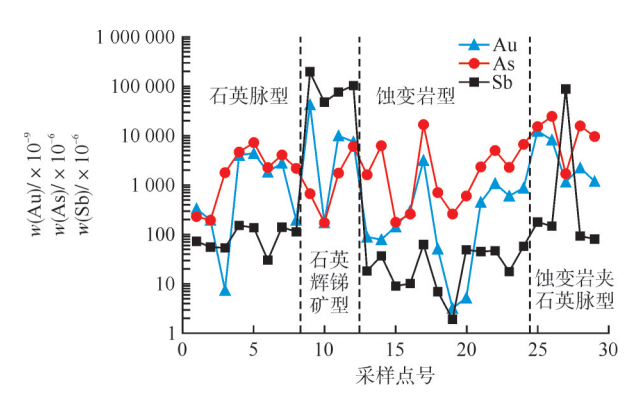
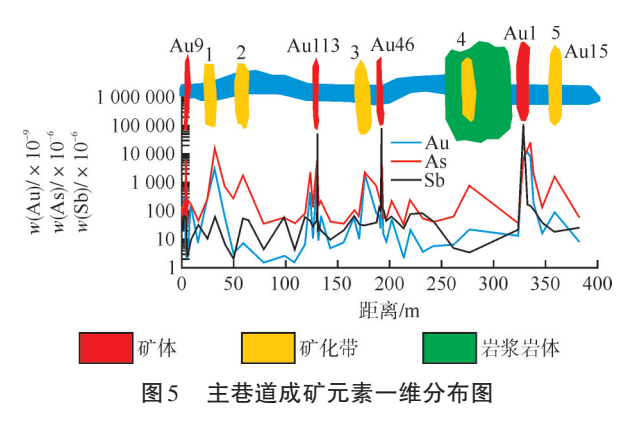


图 4 早子沟金矿床不同类型矿石 Au-As-Sb 关系图 Fig. 4 Au-As-Sb relationships in different ore types from the Zaozigou Gold Deposit

统电法勘探,广域电磁法探测深度更大、抗干扰能力



约专题

Fig. 5 One-dimensional distribution of ore-forming elements along the main roadway

更强、分辨率更高[26],非常适用于深部勘探。

4.1 地球化学数据与广域电磁剖面的耦合性

为了更好地理解矿体与广域电磁信号的关系,对GY3测线(与85勘探线相近)剖面上成矿元素的一维展布与广域电磁解释剖面进行了叠合对比,用于分析广域电磁对矿体的响应,结果见图6。由图6可知:剖面上已知矿体与电阻率突变位置具有很好的耦合性,这种突变一方面来自岩性的变化,可能是侵入岩边界,但结合地质特征,更大的可能是受到断裂及其内部矿化影响,导致电阻率降低^[30]。因此,在电阻率突变处,尤其是在不同方向延伸的突变交会处,是勘探的重点区段。

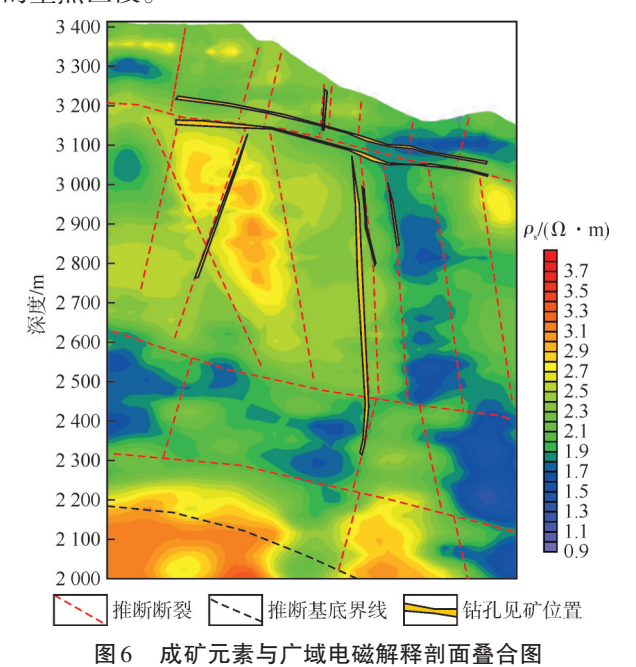


Fig. 6 Overlay of ore-forming elements with wide field electromagnetic interpretation profile

4.2 勘探剖面 Au 分布特征

利用钻孔数据,结合前人研究成果,分析了典型 勘探剖面的Au分布特征。为了清楚地展示不同样品 的Au含量差异,将大于平均值5倍作为特高值数据, 4 特 约 专 题 黄 金

用小于平均值 5 倍的最大值代替,再计算平均值、方差、标准离差等参数;同理,再次找出大于平均值 5 倍的特高值用小于平均值 5 倍的最大值代替,重复此操作,直至数据最高值小于平均值 5 倍为止。经过替代之后,利用算术平均值作为背景值进行异常下限的计算。

早子沟金矿床 85 勘探线 Au 等值线图见图 7。由图 7 可知: Au1 和 Au9 矿体是最主要矿体, 其与 Au高值区基本重合。值得注意的是, 在 2 150~2 350 m深度, Au高值区呈横向展布, 稍向南东倾斜, 可能存在着东西走向的矿体, 与 F₃断裂中的盲矿体类似, 或者为几个连续发育的、与 Au1、Au9 矿体相同走向的小矿体。此外, 在 2 400~2 500 m深度存在着一个较小规模的横向 Au高值区,与上述状态相似。

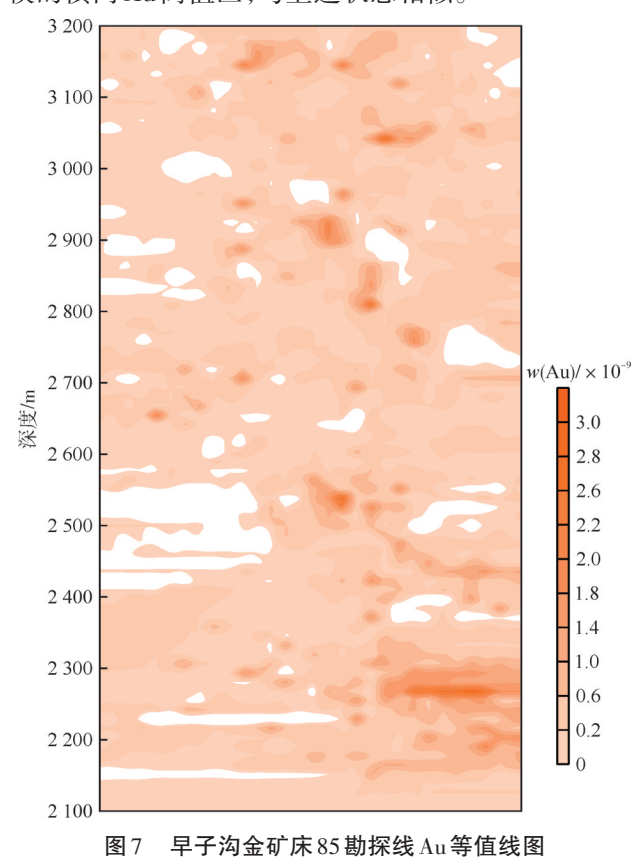


Fig. 7 Au contour map along Exploration Line 85 of

the Zaozigou Gold Deposit

4.3 找矿潜力区预测

前人对早子沟金矿床控矿规律的研究表明,岩脉和断裂是最重要的控矿因素^[4,8,20-22,35]。断裂提供了高效的容矿空间,控制了矿体的延伸与分布。地球化学特征能够直接反映矿体的展布规律。因此,在利用地球物理方法进行成矿预测时,还需要考虑断裂和地球化学特征对地球物理性质的反映。

根据前述找矿原则,结合85勘探线剖面上Au分布特征,认为电阻率突变线附近,尤其是2组突变线

交会处,可能存在矿体。基于这一认识,在GY3剖面上划分了3个级别共5个有利勘探区(见图8)。其中, I级有利勘探区,风险最小; II级有利勘探区,有风险; II级有利勘探区,风险较大。GY0—GY7联合剖面见图9。由图9可知:有利勘探区均具有一定程度的延伸和变化,可追踪探矿,为进一步勘探提供了有力支持。

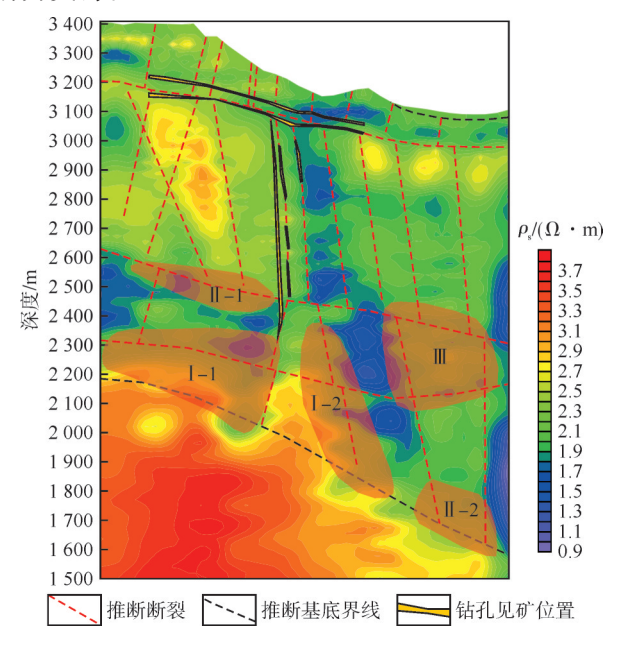


图8 GY3剖面(近85勘探线)找矿潜力区

Fig. 8 Potential prospecting zone near profile GY3 (around Exploration Line 85)

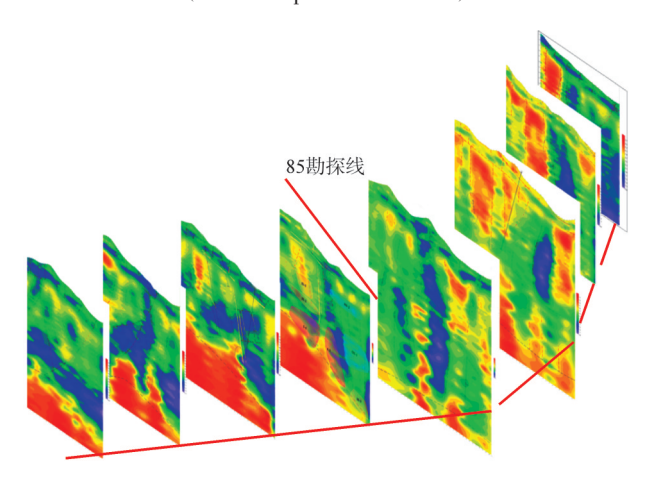


图 9 GY0—GY7联合剖面 Fig. 9 Joint profile from GY0 to GY7

I-1有利勘探区:位于Au1矿体的控矿构造深部。Au1矿体控矿构造向下延伸较大,而随着构造的逐渐收敛,有望形成富矿带。在此深度(2100~2300 m),有利勘探区可能受控于北西向逆掩断裂系统,与控制了盲矿体Au4和Au6的F3断裂属于同一构造系统。在相同深度处也存在一个横向展布的电阻率突变带,其上部的低电阻带显示其很有可能是控矿断裂。有利勘探区向GY3剖面的西南向延伸稳定,北

东向则因整体电阻率变高而不够清晰,这一特征与 F₃断裂特征非常相似,因此认为该有利勘探区与F₃断 裂属同一系列构造。鉴于F₃断裂对盲矿体的控矿作 用,加之底部可能为基底岩层,在多边界联合控制下, 推测深部的电阻率突变带具有控矿作用,可能发育类 似浅层盲矿体(M4、M6)叠加北东向矿体。

I-2有利勘探区:位置与I-1有利勘探区相近,位于 F_{26} 断裂(赋存Au37矿体)深部(深度1800~2400 m),规模比Au1矿体小得多,因此,其含矿性不明朗。但是,鉴于其独特的构造位置,结合85勘探线深部Au1矿体东侧仍发育Au高值区,因此该有利勘探区存在矿体的可能性较大。

Ⅱ-1有利勘探区:位于 F₂₁断裂(赋存 Au9 矿体)下部,电阻率在垂向上突变,呈横切状,可能与 I-1有利勘探区类似,受控于北西向逆掩断裂系统,与 F₃断裂属同一构造系统,但该电阻率突变也有可能是 I-1有利勘探区横切断裂导致的,即此处可能只存在 1条断裂。与85勘探线钻孔 Au 分布特征对比发现,在此深度发育有较窄的 Au 高值区,因此将此区域划归为 Ⅱ级有利勘探区,需要进一步分析。

II-2有利勘探区:位于矿区东南侧深部,受控于基底岩体边界,同时推测有断裂在此与岩体边界交会,因此其赋矿条件很好。但是,在中浅部,其西侧低阻带的东部整体含矿较差,拉低了深部勘探的期望值。尽管如此,考虑该位置可能位于成矿流体主要运移路径上,推测其具有较好的成矿性。

Ⅲ有利勘探区:位于 F₃₀~F₃₂断裂深部与推测的 逆掩断裂交会部位。理论上讲,该有利勘探区具有较好的成矿潜力,但考虑到此处北东向断裂在浅部成矿较差,且推测的逆掩断裂是否存在尚未可知,地球化学数据也未及此处,因此勘探风险较高,需要更多的工作提供支撑。

5 结 论

1)早子沟金矿床矿石中As与Au相关性最好,Sb与Au相关性次之,表明As、Sb是与Au关系最密切的元素,可以作为找矿的标志性元素。毒砂(As的主要载体)和辉锑矿(Sb的主要载体)在一定程度上呈互补关系,即辉锑矿发育时,毒砂可能不太发育,反之亦然。辉锑矿的形成可能增强了金的富集成矿作用。

2)电阻率的突变位置与已知矿体具有很好的耦合性,为利用广域电磁法进行深部矿体预测提供了重要依据。在电阻率突变带附近,尤其是2组突变带交会处,发育矿体的概率较高。基于此,在GY3剖面深部划分了3个级别共5个有利勘探区,有利勘探区可向剖面两侧延伸。

「参考文献]

- [1] QIU K F, DENG J, YU H C, et al. The Zaozigou orogenic gold-antimony deposit, West Qinling Orogen, China: Structural controls on multiple mineralization events [J]. Geological Society of America Bulletin, 2024, 136(9/10):4218-4232.
- [2] TANG Q, DI P, YU M, et al. Mineralogy and geochemistry of pyrite and arsenopyrite from the Zaozigou gold deposit in West Qinling orogenic belt, central China: Implications for ore genesis [J]. Resource Geology, 2019, 69(3):314-332.
- [3] 第鹏飞,汤庆艳,刘聪,等.西秦岭夏河—合作地区早子沟和加甘滩金矿床石英微量元素特征及意义[J].现代地质,2021,35(6): 1608-1621.
- [4] 钱建平,张果,漆炜博,等.甘肃早子沟金矿复合成矿构造系统的构成、样式、演化和控矿规律[J].大地构造与成矿学,2020,44(5).913-936
- [5] 李伟.甘肃早子沟金矿床三维建模与预测评价[D].北京:中国地质大学(北京),2020.
- [6] 汤磊,林成贵,程志中,等.甘肃省合作市早子沟金矿原生晕三维特征及深部找矿预测[J].地质通报,2020,39(8):1173-1181.
- [7] 赵积珍,陈国忠,梁志录,等.早子沟金矿矿体及地球化学特征[J].甘肃地质,2013,22(2):38-43.
- [8] 陈国忠,梁志录,王建龙,等.早子沟金矿岩石地球化学特征及其地质意义[J].甘肃地质,2012,21(4):23-31.
- [9] QIU K F, YU H C, DENG J, et al. The giant Zaozigou Au-Sb deposit in West Qinling, China: Magmatic- or metamorphic-hydrothermal origin? [J]. Mineralium Deposita, 2020, 55(2):345-362.
- [10] 田向盛,孙新春,邱昆峰,等.西秦岭造山带早子沟金矿床金矿 化特征及找矿潜力评价[J].黄金,2024,45(4):65-70.
- [11] YU H C, QIU K F, DENG J, et al. Exhuming and preserving epizonal orogenic Au-Sb deposits in rapidly uplifting orogenic settings [J]. Tectonics, 2022, 41(8): e2021TC007165.
- [12] 马冬,孙国胜,李雪,等.青海省都兰县沟里地区金矿床地质特征及成因[J].黄金,2022,43(11):13-18.
- [13] 刘晓林.甘肃枣子沟金矿床地质特征及成因分析[J].甘肃地质,2011,20(1):52-56.
- [14] 刘春先,李亮,隋吉祥.甘肃枣子沟金矿的矿化特征及矿床成因[J].地质科技情报,2011,30(6):66-74.
- [15] 隋吉祥,李建威.西秦岭夏河—合作地区枣子沟金矿床成矿时代与矿床成因[J].矿物学报,2013,33(增刊2):346-347.
- [16] 刘勇,刘云华,董福辰,等.甘肃枣子沟金矿床成矿时代精确测定及其地质意义[J].黄金,2012,33(11):10-17.
- [17] 龚全胜,代文军,武雪梅.西秦岭早子沟金矿含矿岩体地球化学特征及成因机制探讨[J].矿产勘查,2019,10(4):854-862.
- [18] HE D Y, QIU K F, SANTOSH M, et al. Inhomogeneous crust-mantle interaction and Triassic tectonic escape of a Proterozoic microplate: A tale of the Bikou Terrane [J]. Lithos, 2021, 396/397:106227.
- [19] 陈瑞莉,陈正乐,伍俊杰,等.甘肃合作早子沟金矿床流体包裹体及硫铅同位素特征[J].吉林大学学报(地球科学版),2018,48(1):87-104.
- [20] 金鼎国,刘伯崇,陈耀宇,等.甘肃早子沟金矿矿体空间分布特征及其控制因素[J].甘肃地质,2015,24(3):25-30,41.
- [21] 张愿宁,梁志录,邱昆峰,等.西秦岭早子沟金矿床成因研究进展与展望[J].矿产勘查,2020,11(1):28-39.
- [22] 李康宁,贾儒雅,李鸿睿,等.西秦岭甘肃夏河一合作地区与中

- 酸性侵入岩有关的金铜多金属成矿系统及找矿预测[J]. 地质通报,2020,39(8):1191-1203.
- [23] 陈耀宇,代文军.枣子沟金矿地质特征及成矿模式探讨[J].新疆地质,2012,30(1):90-94.
- [24] 莫文毅,刘云华,刘占晋,等.冀东矿集区金厂峪金矿床"三位一体"成矿预测模型及找矿预测[J].黄金,2024,45(11):1-8.
- [25] 林成贵,程志中,吕志成,等.甘肃省早子沟金矿原生晕分带特征及深部找矿预测[J].吉林大学学报(地球科学版),2020,50(1):70-84.
- [26] 何继善.广域电磁测深法研究[J].中南大学学报(自然科学版),2010,41(3):1065-1072.
- [27] 陈后扬. 基于广域电磁法的月形-弹岭地区深部地质结构探测[J/OL]. 东华理工大学学报(自然科学版),1-9[2025-03-01]. http://kns.cnki.net/kcms/detail/36.1300. N. 20240929.0907.004. html.
- [28] 郭国强,李亚东,王阳,等.鲁西北潘店重磁异常带矽卡岩型铁 矿精细找矿方向——来自广域电磁法深部找矿的启示[J].物 探与化探,2024,48(2):327-333.
- [29] 高忠晖,袁昆.大功率激电法在辽宁新宾南杂木金矿床勘查中的应用效果[J].黄金,2025,46(2):83-88.

- [30] 黄鑫,王勇军,宋倩,等.胶东北部大柳行金矿田成矿构造的广域电磁法勘查及对深部找矿的指示[J].地质通报,2022,41(6):1107-1120.
- [31] 晏兵,谢卓君,谭亲平,等.贵州烂泥沟金矿广域电磁法低阻异常带F0成因:地质、地球化学特征制约[J].矿物岩石地球化学通报,2023,42(3):557-573.
- [32] WANG J, YU H, HE D, et al. Geochronology and geochemistry of the Yidi'nan quartz diorite in the West Qinling, China: Implications for evolution of the Palaeo-Tethys Ocean [J]. Geological Journal, 2020, 56(4):2277-2295.
- [33] WANG J, YU H C, PETRELLA L, et al. Fluid evolution and genesis of the Yidinan granitoid-hosted orogenic gold deposit (China) [J]. Geological Society of America Bulletin, 2024, 137 (5/6): 1 945– 1 963.
- [34] 代文军,陈耀宇,刘春先,等.甘肃枣子沟金矿围岩蚀变特征及 其与金矿化的关系[J].甘肃地质,2011,20(3):31-36.
- [35] 李建威,隋吉祥,靳晓野,等.西秦岭夏河一合作地区与还原性 侵入岩有关的金成矿系统及其动力学背景和勘查意义[J].地 学前缘,2019,26(5):17-32.

Deep prospecting prediction using integrated geochemistry and wide field electromagnetic method in the Zaozigou Gold Deposit, Gansu

Zhu Rui^{1,2}, Luan Xiaogang², Nie Xin³, Wu Tonglin², He Yongcheng², Yu Haocheng¹

(1. School of Earth Sciences and Resources, China University of Geosciences, Beijing;

2. Gansu Hezuo Zaozigou Gold Mine Co., Ltd.; 3. Zhaojin Mining Industry Co., Ltd.)

Abstract: The Zaozigou Gold Deposit is one of the largest gold deposits in the Western Qinling orogenic belt. However, as mining depth increases, exploration becomes increasingly challenging. Despite the significant deep resource potential, the spatial distribution of deep orebodies remains poorly understood. This study conducts deep metallogenic prediction and delineates prospective targets in the Zaozigou Gold Deposit through the integration of geochemistry and wide field electromagnetic method. Trace element characteristics of rock samples from a representative exploration profile indicate that As exhibits the strongest correlation with Au, followed by Sb, suggesting that arsenopyrite and stibnite are the minerals most closely associated with gold mineralization. These 2 minerals show a somewhat complementary relationship—arsenopyrite is less developed where stibnite is abundant, and vice versa. Arsenopyrite is likely the main carrier of Au, while the presence of stibnite enhances Au enrichment. Comprehensive analysis of ore-forming element distribution maps and wide field electromagnetic interpretation sections reveals a strong coupling between abrupt resistivity changes and orebody distribution. The highest potential for ore occurrence lies near resistivity discontinuities, especially at the intersections of 2 sets of resistivity break lines. Based on these results, 5 favorable exploration zones of 3 levels were delineated along the GY3 profile. First-level targets are located at intersections of major mineralized structures with pronounced lateral resistivity gradients near surface; second-level targets lie at intersections of significant lateral and vertical resistivity anomalies; and third-level targets are situated at deeper structural positions, similar to those hosting previously discovered blind orebodies (M4, M6), and are associated with moderate lateral resistivity gradients. These favorable zones are likely to extend laterally to adjacent profiles, providing guidance for delineating prospective targets in nearby sections.

Keywords: Zaozigou Gold Deposit; wide field electromagnetic method; geochemistry; resistivity; deep prospecting; target delineation; Western Qinling